

УДК 534.511.4

## СТРУКТУРЫ РАЗРЫВОВ В РЕШЕНИЯХ УРАВНЕНИЙ, ОПИСЫВАЮЩИХ ПРОДОЛЬНО-КРУТИЛЬНЫЕ ВОЛНЫ В УПРУГИХ СТЕРЖНЯХ

© 2021 г. Академик РАН А. Г. Куликовский<sup>1,\*</sup>, А. П. Чугайнова<sup>1,\*\*</sup>

Поступило 25.02.2021 г.

После доработки 25.02.2021 г.

Принято к публикации 01.03.2021 г.

Изучаются структуры разрывов (с учетом вязкости) в решениях гиперболической системы уравнений, описывающих связанные продольно-крутильные волны в упругих стержнях. Обнаружены условия существования особых разрывов, а также условия отсутствия структуры эволюционных разрывов.

*Ключевые слова:* ударные волны, структура разрыва, особые разрывы, законы сохранения

**DOI:** 10.31857/S268674002102005X

Рассматриваются нелинейные волны малой амплитуды в упругих стержнях, когда имеется сильное взаимодействие продольных и крутильных движений. Ранее эти движения рассматривались независимо [1–6], а в некоторых случаях рассматривалось частичное взаимодействие этих движений [7]. В [8] была выписана гиперболическая система уравнений, выражающая законы сохранения продольного импульса и момента импульса и рассмотрены простые волны и образование разрывов. В [9, 10] были исследованы возможные разрывы в решениях этих уравнений на основе соотношений, обеспечивающих выполнение упомянутых законов сохранения. Была исследована ударная адиабата и неравенства между скоростью разрыва и скоростями малых возмущений по обе стороны разрыва. Как известно, кроме существования разрывов типа ударных волн, на которых выполняются соотношения, следующие из законов сохранения и обеспечивающие их эволюционность [11, 12], возможны разрывы, называемые особыми [13], соотношения на которых представлены, помимо соотношений, следующих из законов сохранения, некоторыми дополнительными соотношениями [14]. При теоретическом изучении дополнительные соотношения могут быть получены как условия существования стационарной структуры разрыва [15].

В предлагаемой работе, с целью изучения возможностей реализации разрывов обоих типов, изучается решение задачи о структуре разрывов в предположении, что главный механизм, определяющий структуру – вязкость.

Рассмотрим случай, когда при распространении волн в стержнях нелинейные эффекты происходят за счет нелинейной связи напряжений и деформаций, причем последние считаются малыми. Упругую энергию единицы лагранжевой длины стержня будем считать представленной в виде кубического многочлена от деформаций (растяжения  $u_1$  и закрутки  $u_2$ ), а кинетическую энергию – в виде квадратичной формы с диагональной матрицей коэффициентов от скоростей  $v_1$  и  $v_2$ :

$$u_1 = \frac{\partial q}{\partial x}, \quad u_2 = \frac{\partial \varphi}{\partial x}, \quad v_1 = \frac{\partial q}{\partial t}, \quad v_2 = \frac{\partial \varphi}{\partial t}. \quad (1)$$

Здесь  $q = q(x, t)$  – перемещения вдоль оси стержня,  $x$  – лагранжева координата вдоль оси стержня,  $t$  – время,  $\varphi = \varphi(x, t)$  – угол поворота сечения стержня.

Если ввести новые переменные, отличающиеся от пар переменных  $u_1, v_1$  и  $u_2, v_2$  подходящим образом подобранными множителями  $\lambda_1$  и  $\lambda_2$ , то уравнения движения можно записать в виде (для новых переменных оставлены прежние обозначения)

$$\frac{\partial v_i}{\partial t} = \frac{\partial}{\partial x} \frac{\partial F}{\partial u_i} + \mu_i \frac{\partial^2 v_i}{\partial x^2}, \quad \frac{\partial u_i}{\partial t} = \frac{\partial v_i}{\partial x}, \quad i = 1, 2, \quad (2)$$

$$F = F(u_1, u_2) = Au_1^2 + Bu_2^2 + Cu_1^3 + Ru_1u_2^2, \quad (3)$$

$A, B, C, R = \text{const.}$

<sup>1</sup> Математический институт им. В.А. Стеклова Российской академии наук, Москва, Россия

\*E-mail: kulik@mi-ras.ru

\*\*E-mail: anna\_ch@mi-ras.ru

Уравнения (2) представляют усредненные по сечению стержня уравнения нелинейной вязкоупругости, выражающие сохранение продольного импульса и момента импульса вокруг оси стержня. В уравнениях (2) по сравнению с уравнениями, использованными в [10], учтены вязкие напряжения с постоянными коэффициентами вязкости  $\mu_1, \mu_2$ . Форма (3) принятой внутренней энергии  $F(u_1, u_2)$  обусловлена предположением о четности функции  $F$  по переменной  $u_2$ .

Под структурой разрыва будем понимать решение  $u_i(\xi), v_i(\xi)$  уравнений (2), где  $\xi = -x + Wt$ ,  $W = \text{const} > 0$ . При  $\xi \rightarrow \pm\infty$  решение стремится к предельным значениям. Из уравнений (2) следуют обыкновенные дифференциальные уравнения для структуры, из которых, после однократного интегрирования и исключения переменных  $v_1$  и  $v_2$ , получаем систему уравнений для переменных  $u_1$  и  $u_2$ . Введем вместо переменных  $u_1$  и  $u_2$  переменные  $Y_1$  и  $Y_2$  и вместо переменной  $\xi$  переменную  $\eta$ . Таким образом уравнения (2) примут вид

$$-\frac{\mu_1}{\kappa} \frac{dY_1}{d\eta} = U_1 N_1, \quad (4)$$

$$N_1 = \frac{\partial N(Y_1, Y_2)}{\partial Y_1} = \frac{P}{\kappa} \left( Y_1 - \frac{s}{P} \right)^2 + Y_2^2 - \frac{P}{\kappa} \left( 1 - \frac{s}{P} \right)^2 - 1,$$

$$-\mu_2 \frac{dY_2}{d\eta} = U_1 N_2, \quad (5)$$

$$N_2 = \frac{\partial N(Y_1, Y_2)}{\partial Y_2} = 2(Y_1 - s)Y_2 - 2(1 - s).$$

Здесь

$$Y_1 = \frac{u_1 - a}{U_1}, \quad Y_2 = \frac{u_2}{U_2}, \quad a = \frac{B - A}{3C - R}, \quad \eta = R\xi, \quad (6)$$

$$s = \frac{W^2 - b}{2RU_1}, \quad b = 2A + 6Ca, \quad (7)$$

$$P = \frac{3C}{R}, \quad \kappa = \frac{U_2^2}{U_1^2}, \quad U_1, U_2 = \text{const},$$

$$N(Y_1, Y_2) = \frac{P}{3\kappa} Y_1^3 + Y_1 Y_2^2 - s \left( \frac{Y_1^2}{\kappa} + Y_2^2 \right) - \left( \frac{P}{\kappa} \left( 1 - \frac{s}{P} \right)^2 - 1 \right) Y_1 - 2(1 - s) Y_2. \quad (8)$$

Начальное состояние при  $\eta = -\infty$  задается равенствами  $Y_1 = 1, Y_2 = 1$  и соответствует состоянию перед структурой. На плоскости  $Y_1, Y_2$  начальная точка  $Y_1 = 1, Y_2 = 1$  является особой точкой системы (4), (5) и одновременно стационарной точкой функции  $N(Y_1, Y_2)$ . Другие особые точки этой

системы могут представлять состояние за структурой (разрывом). Цель предлагаемого исследования состоит в нахождении условий, при которых особые точки системы (4), (5) на плоскости  $Y_1, Y_2$  соединяются интегральными кривыми. Отметим, что согласно (4), (5) функция  $N(Y_1(\eta), Y_2(\eta))$  убывает с ростом  $\eta$ :  $\frac{dN}{d\eta} < 0$ .

Отметим также, что значения скоростной переменной  $s$  (см. (7)), соответствующие малым возмущениям  $s = s_1$  и  $s = s_2$ , находящиеся как собственные значения матрицы вторых производных функции  $N(Y_1, Y_2)$  и удовлетворяют уравнению

$$(P - s)(1 - s) = \kappa. \quad (9)$$

Рассмотрим особые точки и интегральные кривые системы (4), (5) в случае, когда  $P > 0$ . Уравнения  $N_1 = 0$  и  $N_2 = 0$  представляют на плоскости  $Y_1, Y_2$  эллипс и гиперболу, которые проходят через начальную точку  $Y_1 = 1, Y_2 = 1$  и представляют изоклины линий уровня функции  $N(Y_1, Y_2)$ . Типичный вид линий уровня функции  $N(Y_1, Y_2) = \text{const}$  с начальной точкой  $A_1$  изображен на рис. 1а.

Упомянутые изоклины изображены более толстыми линиями. Штриховой линией обозначена вертикальная асимптота гиперболы. Точки  $A_1, A_4$  — седла (как для функции  $N$ , так и для уравнений (4), (5)),  $A_2$  — максимум функции  $N$  и одновременно узел для системы (4), (5) с выходящими с ростом  $\eta$  интегральными кривыми,  $A_3$  — минимум функции  $N$  и узел с входящими в него интегральными кривыми.

Направление движения точки по интегральным кривым с ростом  $\eta$  при всех значениях  $m = \frac{\mu_1}{\kappa\mu_2}$  принадлежит тому же квадранту плоскости  $Y_1, Y_2$ , что и вектор  $-\text{grad}N$ . В области внутри эллипса между ветвями гиперболы (рис. 1) направления движения точки по интегральным кривым с ростом  $s$  принадлежат четвертому квадранту. При малых значениях  $m$  интегральные кривые почти горизонтальны, а при больших значениях  $m$  — почти вертикальны. Это означает существование такого значения  $m = m_0(s)$ , при котором седла  $A_1$  и  $A_4$  соединены интегральной кривой, представляющей структуру особого разрыва. Интегральная кривая  $A_1 \rightarrow A_4$  (седло—седло) может существовать только при  $s > 1$ , поскольку при  $s < 1$  выполняется неравенство  $N(A_1) < N(A_4)$ , противоречащее убыванию функции  $N$  с ростом  $s$ . На рис. 2 представлен график  $m_0(s)$ , полученный численно для  $\kappa = 2, P = 0.6, s = 1.2$  на интервале  $1 < s < s_2^-$  (кривая  $a$ ).

Соединение седел  $A_1$  и  $A_4$  при  $s > s_2$ , когда начальная точка  $A_2(1, 1)$  — выходящий узел, опреде-

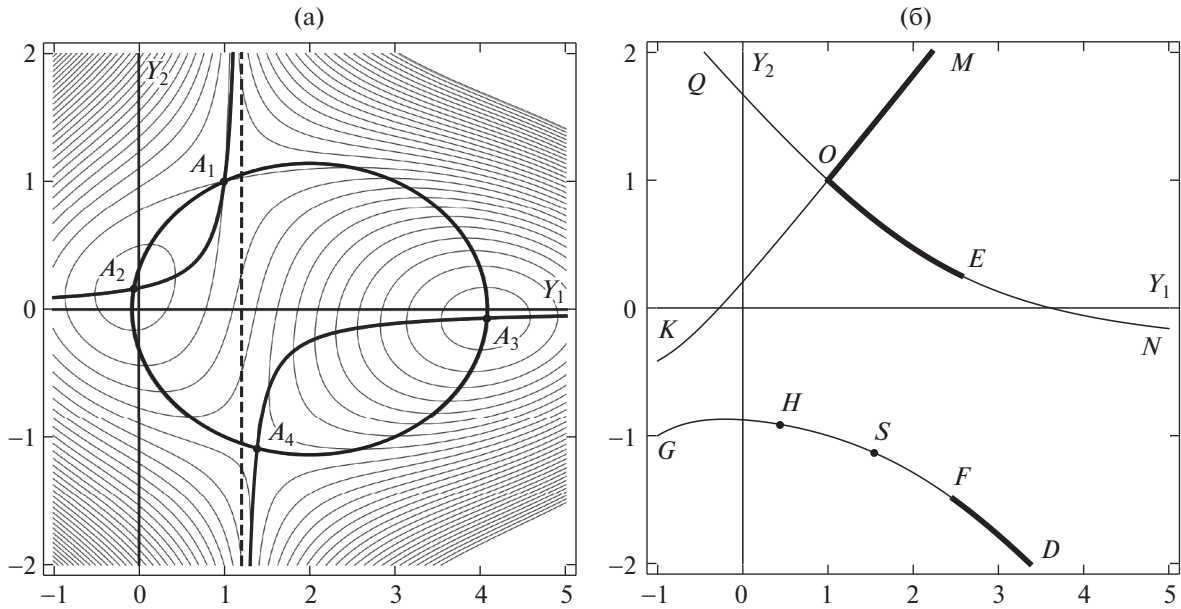


Рис. 1. Линии уровня (а) и ударная адиабата (б).  $\kappa = 2$ ,  $P = 0.6$ ,  $s = 1.2$ .

ляет граничное значение  $m_b(s)$ , такое, что при  $m < m_b(s)$  точки  $A_2$  и  $A_4$  соединяются интегральной кривой, представляющей структуру быстрой ударной волны, а при  $m > m_b(s)$  сепаратриса точки  $A_1$  проходит между точек  $A_2$  и  $A_4$  и структура ударной волны  $A_2 \rightarrow A_4$  не существует.

На рис. 2 представлен график функции  $m_b(s)$  (кривая  $b$ ), непрерывно продолжающий график функции  $m_a(s)$  (кривая  $a$ ), хотя аналитически это другая функция. Функция  $m_b(s)$  построена численно при тех же параметрах, что и функция  $m_a(s)$ . Если задано значение  $m^*$  и  $m^* < m_{\min}$ , то при  $s > s_2$  структура разрывов типа  $A_2 \rightarrow A_4$  существует при всех  $s$ . Если  $m^* > m_{\min}$ , то существует такое значение  $s = s_*$ , что при  $s < s_*$  структура разрыва типа  $A_2 \rightarrow A_4$  не существует, а при  $s > s_*$  структура этого разрыва существует. При том же неравенстве  $m^* > m_{\min}$  существует структура особого разрыва при  $s = s^*$  (рис. 2).

На рис. 1б изображен один из вариантов качественно различных ударных адиабат, исследованных в [10] ( $0 < P < 1$ ,  $\kappa > 2 - P$ ), построенный численно для параметров  $\kappa = 2$ ,  $P = 0.6$ ,  $s = 1.2$ . Ударная адиабата (множество состояний за разрывами из начальной точки  $O$ ) содержит три ветви —  $QN$ ,  $KM$  и  $GD$ . На ударной адиабате жирными линиями отмечены части ударной адиабаты, соответствующие разрывам со структурой. Изображен случай  $m^* > m_{\min}$ . Части ударной адиабаты  $OM$  и  $FD$  соответствуют состояниям за быстрыми удар-

ными волнами, имеющим структуру,  $SF$  — за эволюционными быстрыми ударными волнами без структуры,  $OE$  — за медленными ударными волнами (все они имеют структуру). Точкой  $H$  отмечено состояние за особым разрывом. Если  $m^* < m_{\min}$ , то особого разрыва не будет, и весь эволюционный участок  $SD$  будет соответствовать быстрым ударным волнам со структурой. Остальные части ударной адиабаты не могут реализовываться либо в силу неустранимой неэволюционности, либо из-за типов особых точек, не позволяющих образоваться структуре. Исследование структуры разрывов при других значениях параметров  $P$  и  $\kappa$  проводится аналогичным образом и будет опубликовано позднее.

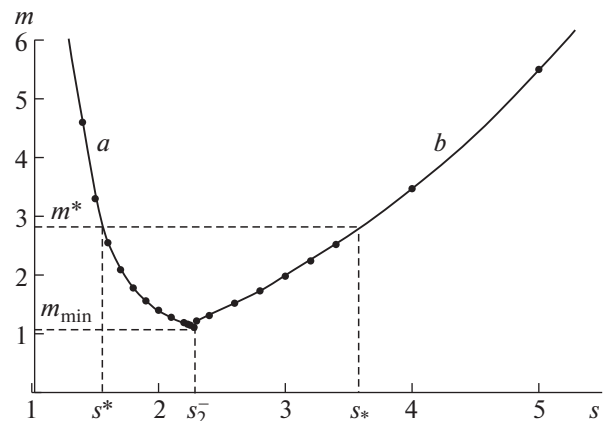


Рис. 2. Функция  $m(s)$ .

## ИСТОЧНИК ФИНАНСИРОВАНИЯ

Исследования выполнены при финансовой поддержке Российского фонда фундаментальных исследований (грант № 20-01-00071).

## СПИСОК ЛИТЕРАТУРЫ

1. *Ergashov M.* A study of the propagation of elastic waves in wound structures taking into account their rotation under extension // *J. Appl. Math. Mech.* 1992. V. 56. № 1. P. 117–124.
2. *Умаров Х.Г.* Задача Коши для уравнения крутильных колебаний нелинейно-упругого стержня бесконечной длины // *ПММ.* 2019. Т. 83. № 2. С. 249–264.
3. *Ерофеев В.И., Ключева Н.В.* Распространение нелинейных крутильных волн в стержне из разномодульного материала // *Известия РАН. Механика твердого тела.* 2003. № 5. С. 147–153.
4. *Sugimoto N., Yamane Y., Kakutani T.* Oscillatory structured shock waves in a nonlinear elastic rod with weak viscoelasticity // *J. Appl. Mech.* 1984. V. 51(4). P. 766–772.
5. *Zhang S., Liu Z.* Three kinds of nonlinear dispersive waves in elastic rods with finite deformation // *Appl. Math. Mech.* 2008. V. 29 (7). P. 909–917.
6. *Singh Salam* Soliton solutions of nonlinear wave equation in finite de-formation elastic cylindrical rod by solitary wave ansatz method // *Intern. J. of Physical Research.* 2016. V. 4(1). P. 12–14.
7. *Малашин А.А.* Продольно-поперечно-крутильные волны и колебания в музыкальных струнах // *ДАН.* 2009. Т. 424. № 2. С. 197–199.
8. *Куликовский А.Г., Чугайнова А.П.* Длинные нелинейные волны в анизотропных цилиндрах // *ЖВМиМФ.* 2017. Т. 57. Вып. 7. С. 1198–1204.
9. *Куликовский А.Г., Чугайнова А.П.* Ударные волны в анизотропных цилиндрах // *Тр. МИАН.* Т. 300. С. 109–122.
10. *Chugainova A.P., Kulikovskii A.G.* Longitudinal and torsional shock waves in anisotropic elastic cylinders // *Z. Angew. Math. Phys.* 2020. V. 71:1. № 17. 15 p.
11. *Ландау Л.Д., Лифшиц Е.М.* Гидродинамика. М.: Физматлит, 1986. 736 с.
12. *Lax P.D.* Hyperbolic systems of conservation laws // *Comm. Pure Appl. Math.* 1957. V. 10. P. 537–566.
13. *Куликовский А.Г., Чугайнова А.П.* Классические и неклассические разрывы в решениях уравнений нелинейной теории упругости // *УМН.* 2008. Т. 63. № 2 (380). С. 85–152.
14. *Куликовский А.Г.* Сильные разрывы в течениях сплошных сред и их структура // *Тр. МИАН СССР.* 1988. Т. 182. С. 261–291.
15. *Куликовский А.Г.* О поверхностях разрыва, разделяющих идеальные среды с различными свойствами: Волны рекомбинации // *ПММ.* 1968. Т. 32. Вып. 6. С. 1125–1131.

## DISCONTINUITY STRUCTURES OF EQUATION SOLUTIONS DESCRIBING LONGITUDINAL-TORSIONAL WAVES IN ELASTIC RODS

Academician of the RAS A. G. Kulikovskii<sup>a</sup> and A. P. Chugainova<sup>a</sup>

<sup>a</sup> *Steklov Mathematical Institute of Russian Academy of Sciences, Moscow, Russian Federation*

Discontinuity structures (taking into account viscosity) in hyperbolic system solutions describing coupled longitudinal-torsional waves in elastic rods are studied. Existence conditions of special discontinuities, as well as conditions for the absence of structures of evolutionary discontinuities, have been found.

*Keywords:* shock waves, discontinuity structure, special discontinuities, conservation laws